

OPTOELEKTRONICKA METODA ZISTOVANIA DRSNOSTI POVRCHU STAVEBNYCH
KONSTRUKCII

Dr Ľ. Žík, Milan - Macháček, Ivan

Ustav stavebnictva a architektúry SAV, Bratislava, ČSSR

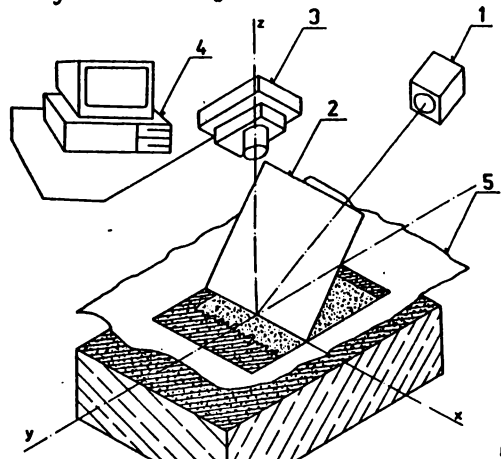
V stavebnej praxi sa presadzujú progresívne viacvrstvové betónové konštrukcie najmä svojou viacúčelovosťou a ekonomičnosťou. Síkykové sily prenášané styčnou ľepárou medzi vrstvami ako i eventuálne vzájomné premiestnenia vrstiev ovplyvňujúce významne hmotnosť vrstevnej konštrukcie sú závislé na viacerých parametroch, z ktorých najdôležitejším sa javí drsnosť styčnej plochy.

Doteraz sa drenosť povrchu stavebných konštrukcií a dielcov zistuje buď metódou porovnávacích vzoriek drsnosti (1), práškovou metódou, alebo metódou kontaktného merania priečnych rezov (2). Spomenuté metódy slúžia na stanovenie charakteristického parametru drsnosti, tzv. strednej hĺbky zaplnenia. Je to stredná hrúbka nestlačiteľnej látky, vyplňujúca priestor medzi nerovnosťami skutočného povrchu stavebnej konštrukcie alebo dielca na vztažnej ploche daného polomeru a dotykovou plochou.

Základnou nevýhodou použitia porovnávacích vzoriek drsnosti je vplyv subjektívneho faktoru ovplyvňujúceho stanovenie hodnoty strednej hĺbky zaplnenia, resp. jej medziľahlých hodnôt. Prášková metóda je pri praktickom použití práčna a na stavebných konštrukciách *in situ* často i nepoužiteľná (napr. zvislé povrhy, vlhké povrhy). Metóda merania priečnych rezov pomocou dotykového hrotu je náročná časovo a prístrojovo, pričom môže vznikať meracie chyby v dôsledku mechanického kontaktu hrotu s povrhom.

Uvedené nedostatky odstraňuje metóda optoelektronického snímania plochy svetelných priemetov profilu povrchu (3). Základná zostava príslušného zariadenia je zrejmá z obr. 1. Pozostáva zo svetelného zdroja 1, nepriehľadného tienidla 2 a snímacieho optoelektronického detektora 3 s pripojenou počítačovou jednotkou 4. Nepriehľadné tienidlo 2 s rovnou spodnou hranou sa umiestní tak, že táto hrana leží v rovine rovinného rámu 5, na ktorú sa vzťahuje stredná hĺbka zaplnenia. Spodná hrana nepriehľadného tienidla 2 sa osvetlením zo svetelného zdroja 1 premietne za nepriehľadné tienidlo tak, že vytvorí nepravidelný okraj osvetlenej plôšky, ako priemet profilu priečneho rezu v mieste spodnej hrany nepriehľadného tienidla 2. Plôška

predstavuje úmerný násobok doplnkovej plochy k profilu skúmaného drsného povrchu do výšky roviny dotykovej plochy rámču 5. Náklon nepriehľadného tienidla 2 v smere ku svetelnemu zdroju 1 zabraňuje, aby svetlo z osvetleného povrchu pred nepriehľadným tienidlom 2 dopadalo do objektívu optoelektronického detektora 3. Vyhodnotením kvadratúry svetelnej plôšky za nepriehľadným tienidlom 2 pomocou počítačovej jednotky 4 a následným viacnásobným opakovaním postupu sa získa súbor nameraných kvadratúr v rôznych rezoch a z jeho štatistických charakteristik sa vyhodnotí jednoduchosť a hodnota a strednej hĺbky zaplnenia.



Obr. 1

Na rozdiel od obvykle používaných postupov je možné uvedenou metódou určovať aj relativne hrubé drsnosti (s najväčšou výškou nerovnosti od mm do niekoľkých cm) bezkontaktným spôsobom s vysokou štatistickou presnosťou nezávisle od toho v akej polohe a na akom konštrukčnom prvku alebo konštrukcii sa meraná plocha nachádza. Meranie nie je obmedzené na laboratórne podmienky a nevyžaduje špeciálnu úpravu meracieho povrchu ani kvalifikovanú obsluhu. Výsledky sa pritom získavajú prakticky v reálnom čase a je tu možnosť úplného zautomatizovania merania. Za najdôležitejšie výhody zariadenia možno považovať bezkontaktný spôsob merania, jednoduchosť a spoľahlivosť základnej konštrukcie potrebného zariadenia a zabezpečenú objektivitu merania.

L i t e r a t ū r a :

- (1) ČSN 732510 . Drsnosť povrchu stavebních konštrukcií.
- (2) D a e c h n e r, F.: Versuche zum notwendigen Schubbewehrung zwischen Betonfertigteilen und Ortbeton. DAfStb, Heft 372, 1986.
- (3) D r Ľ f k, M., M a c h á ě k, I.: Opticko-elektronické zariadenie na meranie drsnosti povrchov stavebných konštrukcií a dielcov. Prihláška vynálezu PV - 6222 - 90. Státní úrad pro patenty a vynálezy, Praha, 1990.